

ВИБОР ОПТИМАЛЬНЫХ ПАРАМЕТРОВ СТРУЕФОРМИРУЮЩЕГО СВОЛА

Коломиец В.С., канд. техн. наук, доц., Зуйков А.Л., аспирант,
Донецкий национальный технический университет

Представлен графо-аналитический расчет зависимости безразмерного давления в импульсе от определяющих его факторов, а также получена зависимость оптимального внутреннего диаметра ствола от диаметра насадка.

The graphic-analytical calculation of dependence of dimensionless pressure in an impulse from its determinants is represented, and also collected dependence of optimum internal diameter of trunk from the diameter of sprayer.

Вопросам изучения гидравлического разрушения угля было уделено достаточно большое внимание рядом научных организаций [1, 2]. За это время накоплен и обработан, с использованием теории подобия и математической статистики, обширный материал, необходимый для установления зависимостей производительности гидроотбойки от основных определяющих факторов для самых разнообразных горно-геологических условий. Этими же исследованиями было отмечено значительное превосходство водяной струи импульсного характера в сравнение со стационарной. Это проявляется в знакопеременной нагрузке в виде сжимающих – растягивающих усилий, которые приводят к появлению дополнительной системы эксплуатационных трещин.

Дальнейшие исследования импульсной струи показали, что добиться дополнительного роста производительности гидроотбойки импульсными струями, можно за счет наложения на передний фронт импульса всплеска давления [3]. При этом нет необходимости иметь большую энергию всплеска на всем протяжении выстреливаемого импульса. Достаточно иметь всплеск большой мощности и малой продолжительности с последующим квазистационарным натеканием струи при меньшем давлении.

Так в работе [4] были представлены исследования направленные на проведение сравнительного анализа струй прерывистого характера без повышения давления и импульсных – с кратковременным вспле-

ском. Результаты исследований показали, что применение последних позволяет в 1,5 – 2,5 раза снизить энергоемкость разрушения и повысить производительность гидроотбойки.

В настоящее время, для формирования импульсной струи используется генератор импульсов релаксационного типа [5], конструкция которого отвечает современным требованиям техники безопасности и условиям ведения горных работ на угольных шахтах с традиционной (“сухой”) технологией. Однако, в тоже время, принцип работы генератора не позволяет формировать всплеск давления в импульсе, о котором говорилось ранее. Единственным источником таких всплесков является струеформирующий ствол, во внутренней полости которого имеет место неустановившееся течение рабочей жидкости во время выстрела.

На рис. 1 представлены графики изменения величины всплеска давления (точка Н) от внутреннего диаметра ствола (а) и от диаметра насадка (б), где точка Н является пересечением характеристик ударной волны и насадка. Из анализа графиков можно отметить значительное влияние диаметров последних на величину всплеска давления в импульсе. При этом обеспечить максимальную величину этого давления, возможно за счет оптимального соотношения между диаметрами ствола и насадка. Поэтому на данном этапе развития гидроимпульсной техники является весьма актуальным разрешение данного вопроса, с целью снижения энергоемкости и повышения производительности гидроотбойки.

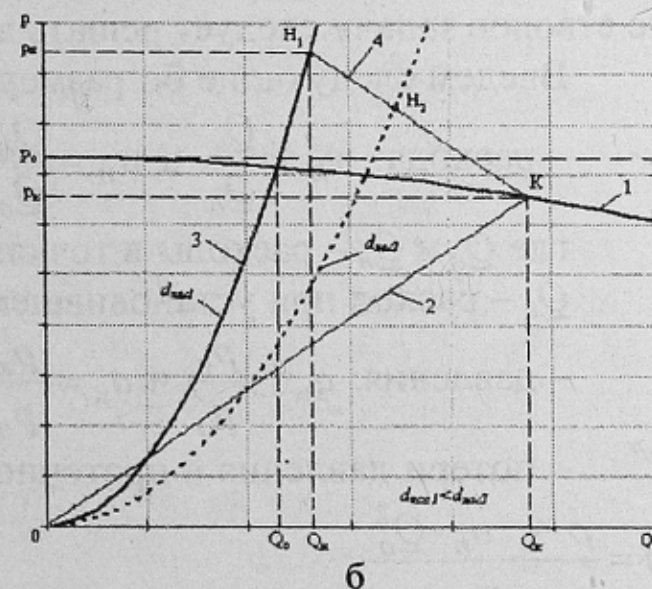
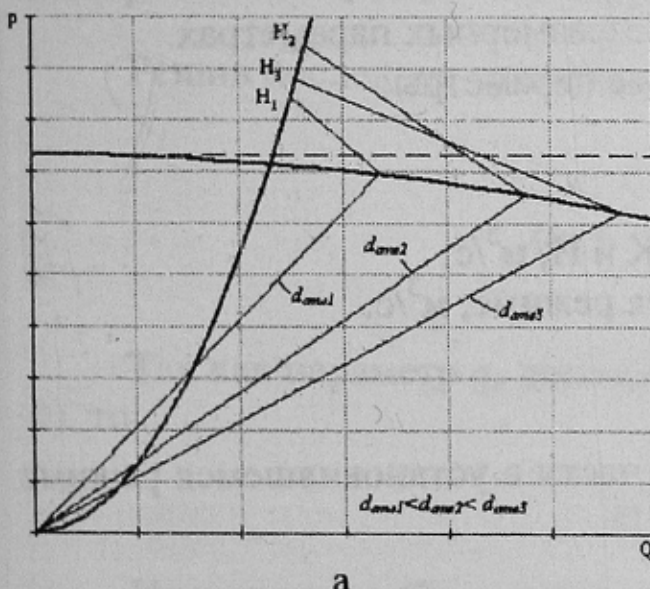


Рисунок 1-Анализ зависимостей амплитуды всплеска давление перед насадком от параметров струеформирующего ствола

Данное выражение можно найти из приведенного графика на рис. 1,б, на котором представлена часть процесса распространения ударной волны до момента всплеска давления перед насадком.

Для определения оптимальных параметров необходимо рассмотреть характеристики 1, 2, 3 и 4. Первоначально из графика необходимо определить параметры т. К с координатой (p_k , Q_k) решив совместно уравнения для характеристик 1 и 2:

$$\left\{ \begin{array}{l} p_k = p_o - \rho \cdot g \cdot a_n \cdot Q_k^2 \\ p_k = \frac{\rho \cdot c}{S_{ctv}} \cdot Q_k \end{array} \right. \quad (1)$$

$$\left\{ \begin{array}{l} p_k = p_o - \rho \cdot g \cdot a_n \cdot Q_k^2 \\ p_k = \frac{\rho \cdot c}{S_{ctv}} \cdot Q_k \end{array} \right. \quad (2)$$

где $a_n = a_{ctv} + a_{kl}$ – сумма гидравлических сопротивлений проточной части ствола и клапана, соответственно, $\text{с}^2/\text{м}^5$;

S_{ctv} – внутренняя площадь ствола, м^2 .

Перед насадком ударная волна отразится. Параметры отраженной волны определяют величину всплеска давления и соответствуют координате точки пересечения характеристик 3 и 4:

$$\left\{ \begin{array}{l} p_h = \rho \cdot g \cdot a_{nas} \cdot Q_h^2 \\ p_h = p_k + \frac{\rho \cdot c}{S_{ctv}} \cdot (Q_k + Q_h) \end{array} \right. \quad (3)$$

$$\left\{ \begin{array}{l} p_h = \rho \cdot g \cdot a_{nas} \cdot Q_h^2 \\ p_h = p_k + \frac{\rho \cdot c}{S_{ctv}} \cdot (Q_k + Q_h) \end{array} \right. \quad (4)$$

где a_{nas} – гидравлическое сопротивление насадка, $\text{с}^2/\text{м}^5$.

Для получения обобщенных выводов, упрощения выкладок и распространение результатов на весь класс используемых на практике стволов задачу следует решать в безразмерных параметрах.

Введем следующие безразмерные параметры:

$$- \text{расхода: } w_k = \frac{Q_k}{Q_o} \text{ и } w_h = \frac{Q_h}{Q_o},$$

где Q_k и Q_h – расходы в точках К и Н, $\text{м}^3/\text{с}$;

Q_o – расход при установившемся режиме, $\text{м}^3/\text{с}$.

$$- \text{давления: } q_h = \frac{p_h}{p_o} \text{ и } q_k = \frac{p_k}{p_o},$$

$$- \text{потери давления в проточной части в установившемся режиме} \\ n = \frac{\rho \cdot g \cdot a_n \cdot Q_o^2}{p_o},$$

где p_o – давление в характерной точке до возмущения потока, МПа;

p_K , p_H – давления в точках К и Н, МПа.

После подстановки полученных безразмерных параметров в уравнения (1) – (4), последние примут следующий вид

$$q_K = 1 - n \cdot w_K^2, \quad (5)$$

$$q_K = m \cdot w_K \quad (6)$$

$$q_H = (1 - n) \cdot w_H^2, \quad (7)$$

$$q_H = q_K + m \cdot (w_K - w_H) \quad (8)$$

В уравнениях (6) и (8) $m = \frac{\rho \cdot c \cdot Q_o}{P_o \cdot S_m}$ – критерий ствола.

Из изложенного выше следует, что безразмерный параметр потерь n , можно переписать следующим образом

$$n = \frac{a_n}{a_n + a_{\text{нас}}} \quad (9)$$

Используя полученные выражения в безразмерной форме (5) – (8) определим зависимость безразмерного параметра всплеска давления q_H перед насадком.

Из уравнения (6) получим:

$$w_K = \frac{q_K}{m}$$

Подставив значение w_K в уравнение (5) найдем:

$$q_K = 1 - n \cdot \left(\frac{q_K}{m} \right)^2$$

Решив последнее уравнение, определим его корни

$$q_K = \frac{-1 \pm \sqrt{1 + 4 \cdot \left(\frac{n}{m^2} \right)}}{2 \cdot \frac{n}{m^2}}$$

Так как параметр q_K должен иметь положительное значение ($q_K > 0$), то

$$q_K = \frac{m^2}{2 \cdot n} \cdot \left(\sqrt{1 + 4 \cdot \frac{n}{m^2}} - 1 \right) \quad (10)$$

Из уравнения (7) получим:

$$w_H = \sqrt{\frac{q_H}{(1 - n)}} \quad (11)$$

Подставив в уравнение (8) значення w_n із (11), а також значення $m \cdot w_k$ із уравнення (6) і q_k із уравнення (10) отримаємо:

$$q_n = \frac{m^2}{n} \left(\sqrt{1 + 4 \frac{n}{m^2}} - 1 \right) - m \cdot \sqrt{\frac{q_n}{1-n}} \quad (12)$$

Решив уравнення (12) установимо, що

$$q_n = \frac{-\frac{m^2}{1-n} + \sqrt{\frac{m^2}{(1-n)^2} + \frac{4 \cdot m^4}{n^2} \cdot \left(\sqrt{1 + 4 \cdot \frac{n}{m^2}} - 1 \right)^2}}{2}$$

Упростив це вираження отримаємо

$$q_n = \frac{m^2 \cdot \left(\sqrt{1 + \left(\frac{4 \cdot (1-n)}{n} \cdot \left(\sqrt{1 + 4 \cdot \frac{n}{m^2}} - 1 \right) \right)^2} - 1 \right)}{2 \cdot (1-n)} \quad (13)$$

Значення безразмерного параметра q_n згідно з отриманою залежністю (13) показує на скільки всплеск давлення перед насадком перевищує подводиме. Рассчитанные зависимости q_n от m для $n=0,002, 0,005, 0,01$ и $0,02$ приведены на рис.2,а и свидетельствуют о наличии четко выраженного максимума для q_n при определенном значении n . Анализ представленного графика показал, что оптимальное значение m зависит от сопротивления проточной части. Из рис. 2,а следует, что при уменьшении n оптимальное значение m также снижается.

Так як кожному конкретному значенню n відповідає своє оптимальне значення m (рис. 2,а), а параметр m є функцією діаметра ствола $d_{ств}$ при певному значенню p_o , то для оптимального режима струеформування існує певне оптимальне співвідношення діаметра насадка $d_{нac}$ до внутрішньому діаметру ствола $d_{ств}$. Рассмотренная характеристика представлена на рис. 2,б.

Графическую зависимость оптимального діаметра ствола від діаметра насадка $d_{опт.ств} = f(d_{нac})$ можна представити в аналітическій формі в виде полінома регресії першого порядку. Уравнення отримано з поміщю математичного пакета MathCad методом найменших квадратів:

$$d_{опт.ств} = 2,9 \cdot d_{нac} + 0,027 \quad (14)$$

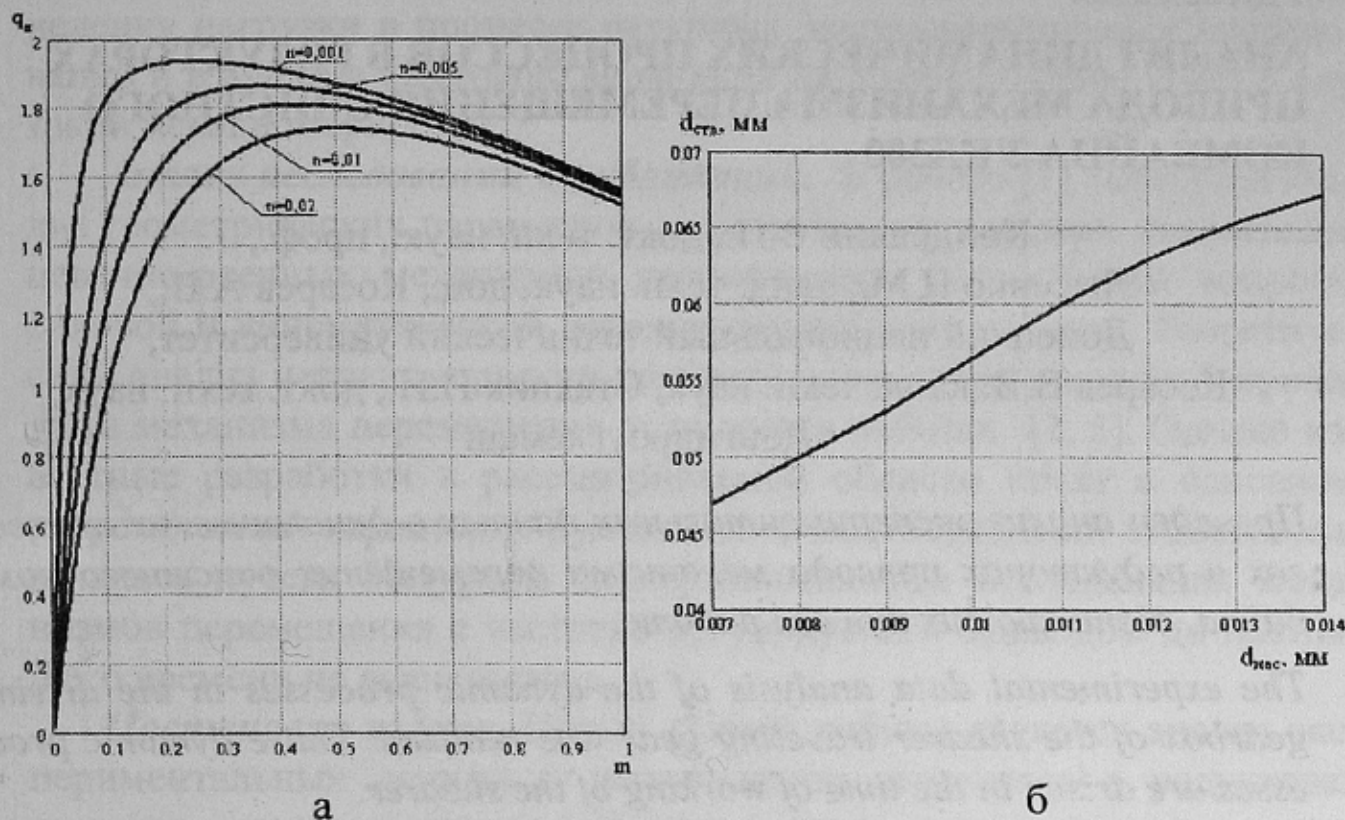


Рисунок 2 – Зависимости изменения безразмерной величины всплеска давления от критерия трубопровода (а) и оптимального диаметра ствола от диаметра насадка (б).

Из вышеизложенного следует, что при выборе оптимальных параметров ствола и насадка теоретически возможно повышение давление в импульсе на 70...90% в сравнении с подводным (рис.3,а), что является достаточно высоким показателем, позволяющим обеспечить дополнительный рост эффективности гидроотбойки импульсными струями.

Список источников.

1. Мучник В. С., Голланд Э. Б., Маркус М. Н. Подземная гидравлическая добыча угля. – М.: Недра, 1986. – 223 с.
2. Цапко Н. Ф., Чапка А. М. Гидроотбойка угля на подземных работах. – М.: Госгортехиздат, 1960. – 312 с.
3. Тимошенко В. Г., Кравец В. Г. Пульсирующий гидромонитор с импульсным повышением давления // Уголь Украины. – 1985. – № 5. – С. 24–25.
4. Адамов В. Г. Создание и выбор рациональных параметров импульсных гидромониторов с ударным трубопроводом: Дис... канд. техн. наук.: 05.05.06. - Донецк, 1989. – 273 с.
5. Пат. 58823 А України, МКІ Е 21 С3/20. Гидроимпульсне устроїство / Н. Г. Бойко, А. Д. Гончаров, В. В. Гулин, П. Ф. Зима, В. С. Исадченко, В. С. Коломиєць, Н. С. Сургай.